

Communication et Cryptographie Quantiques avec des Variables Continues

Frédéric Grosshans

sous la direction de Philippe Grangier

Groupe d'Optique Quantique

Laboratoire Charles Fabry de l'Institut d'Optique

Université Paris XI

12 décembre 2002

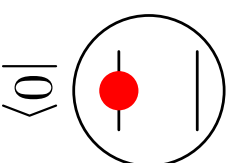
I. Introduction

I.a Information Quantique

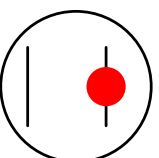
Exploitation des propriétés quantiques pour accomplir des tâches inaccessibles à la physique classique.

- Ordinateurs Quantiques
 - Communications Quantiques
- { Téléportation Quantique
Cryptographie Quantique

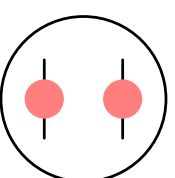
En général, fondée sur des systèmes à 2 niveaux, ou *qubits*.



$|0\rangle$



$|1\rangle$

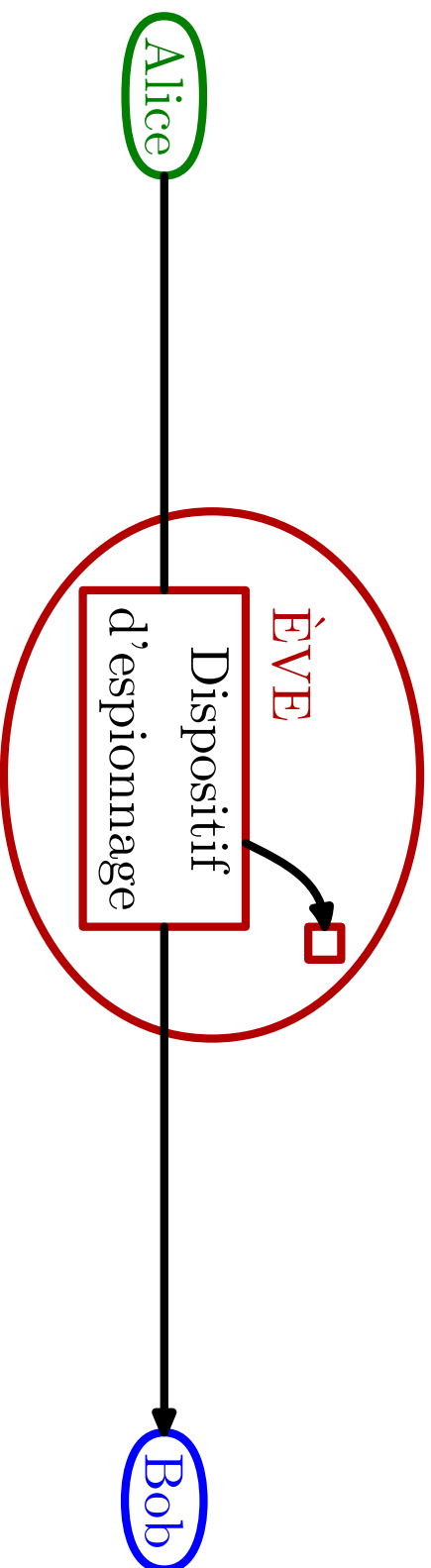


$\alpha|0\rangle + \beta|1\rangle$

I. Introduction

I.b Cryptographie Quantique

Permet un échange de clef secrète entre **Alice** et **Bob**



I. Introduction

I.c Variables Utilisées

En général, **polarisation** d'un photon unique

Fondée sur **observables incompatibles** d'un objet quantique

Ici, **amplitude** d'impulsions cohérentes de ~ 100 photons

I.d Plan

- I Introduction**
- II Quadratures du Champ**
- III Détection Homodyne**
- IV Des Variables Continues aux Bits**
- V Cryptographie Quantique**
- VI Protocoles Inverses**
- VII Réalisation Expérimentale**
- VIII Conclusion**

II. Quadratures du champ

I Introduction

II Quadratures du Champ

III Détection Homodyne

IV Des Variables Continues aux Bits

V Cryptographie Quantique

VI Protocoles Inverses

VII Réalisation Expérimentale

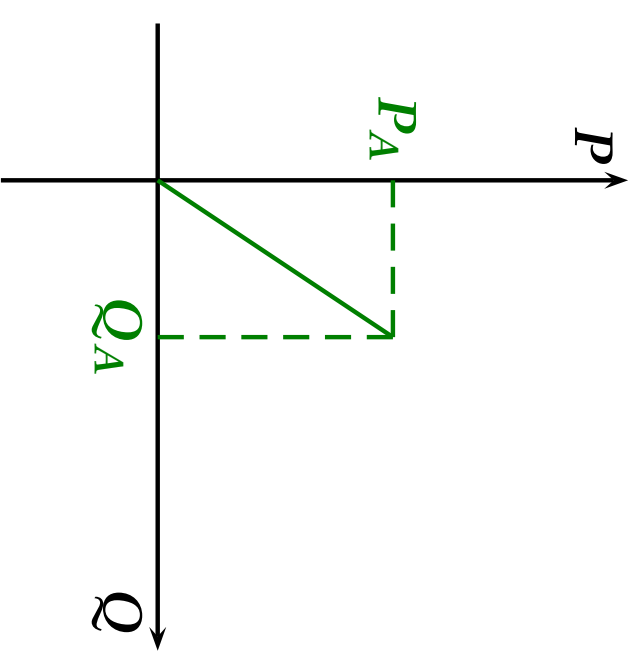
VIII Conclusion

II. Quadratures du champ

II.a État Classique

L'état d'un mode du champ est défini par $\begin{matrix} Q_A \\ P_A \end{matrix}$

$$E(t) = Q_A \cos \omega t + P_A \sin \omega t$$



II. Quadratures du champ

II.a État Classique

L'état d'un mode du champ est défini par $\begin{matrix} Q_A \\ P_A \end{matrix}$

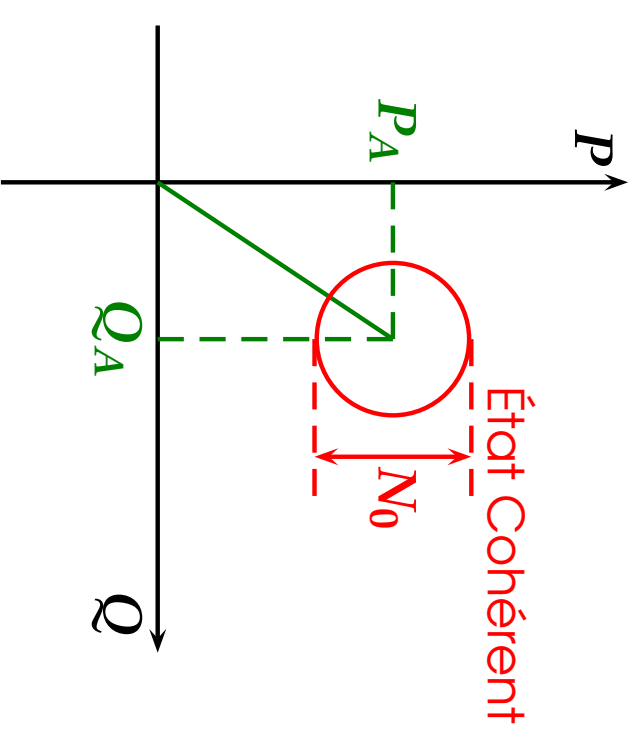
$$E(t) = Q_A \cos \omega t + P_A \sin \omega t$$

II.b État Quantique

Q et P ne commutent pas : $[Q, P] = 2iN_0$.

Un « **Bruit Quantique** » doit être ajouté :

$$Q = Q_A + A_Q \text{ and } P = P_A + A_P$$



$$\text{Heisenberg} \implies \Delta A_Q^2 \Delta A_P^2 \geq \underbrace{N_0^2}_{\text{bruit de photons}}$$

II. Quadratures du champ

II.a État Classique

L'état d'un mode du champ est défini par $\begin{matrix} Q_A \\ P_A \end{matrix}$

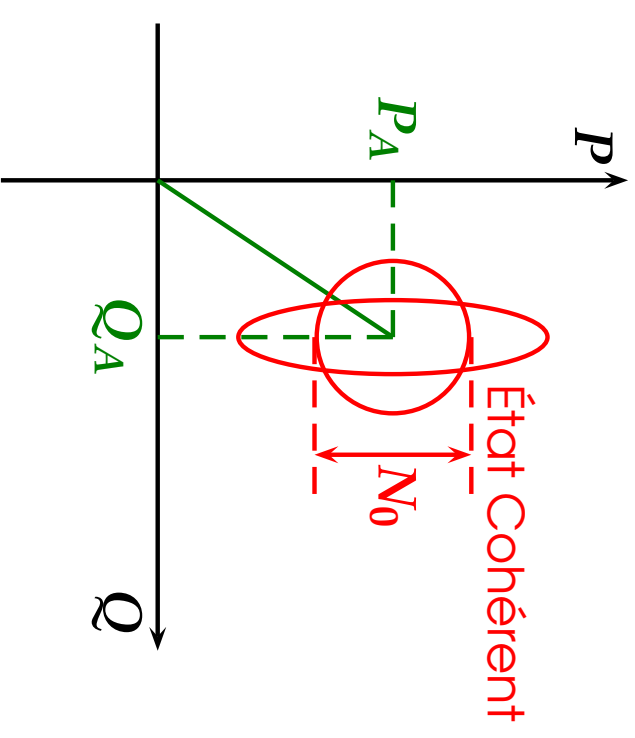
$$E(t) = Q_A \cos \omega t + P_A \sin \omega t$$

II.b État Quantique

Q et P ne commutent pas : $[Q, P] = 2iN_0$.

Un « **Bruit Quantique** » doit être ajouté :

$$Q = Q_A + A_Q \text{ and } P = P_A + A_P$$



$$\text{Heisenberg} \implies \Delta A_Q^2 \Delta A_P^2 \geq \underbrace{N_0^2}_{\text{bruit de photons}}$$

III. Détection Homodyne

I Introduction

II Quadratures du Champ

III Détection Homodyne

IV Des Variables Continues aux Bits

V Cryptographie Quantique

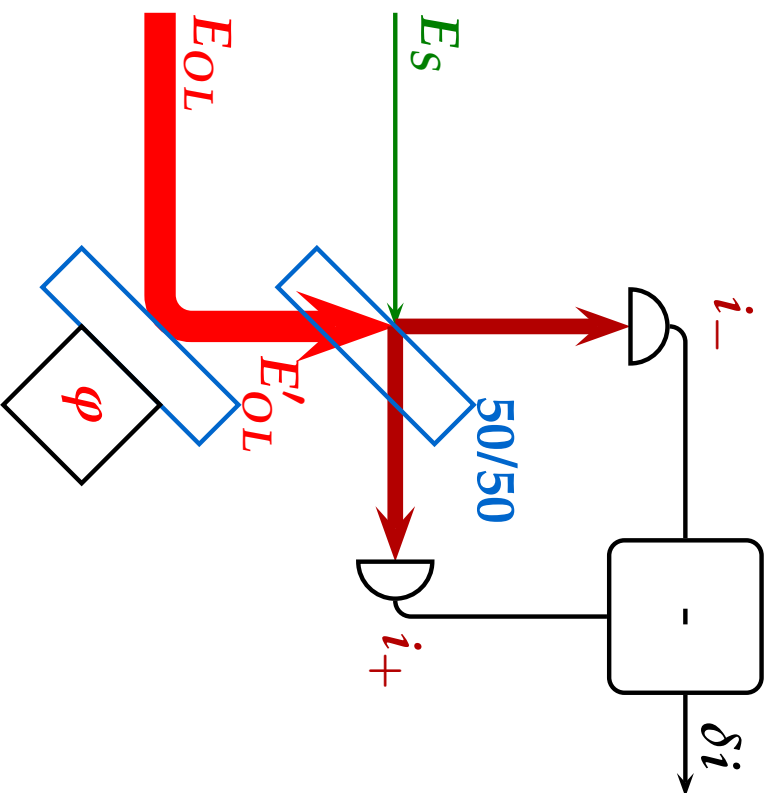
VI Protocoles Inverses

VII Réalisation Expérimentale

VIII Conclusion

III. Détection Homodyne

III.a Principes



Photocourants :

$$i_{\pm} \propto \frac{(E'_{OL}(t) \pm E_S(t))^2}{\propto \frac{E'_{OL}(t)^2 \pm 2E'_{OL}(t)E_S(t)}$$

Après soustraction :

$$\begin{aligned} \delta i &\propto \frac{E'_{OL}(t)E_S(t)}{\propto E_{OL}(Q_S \cos \varphi + P_S \sin \varphi)} \end{aligned}$$

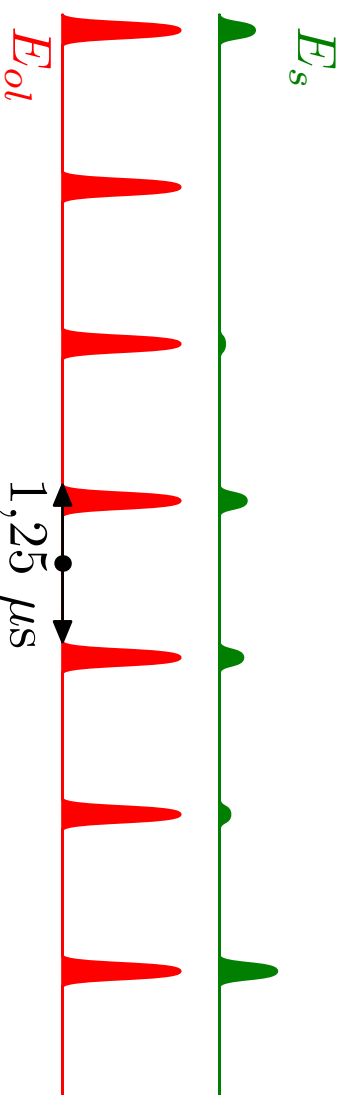
III. Détection Homodyne

III.b Détection Résolue en Temps

Transfert d'information \implies Nécessité d'étudier les aspects temporels

Impulsions de 120 ns cadencées à 800 kHz

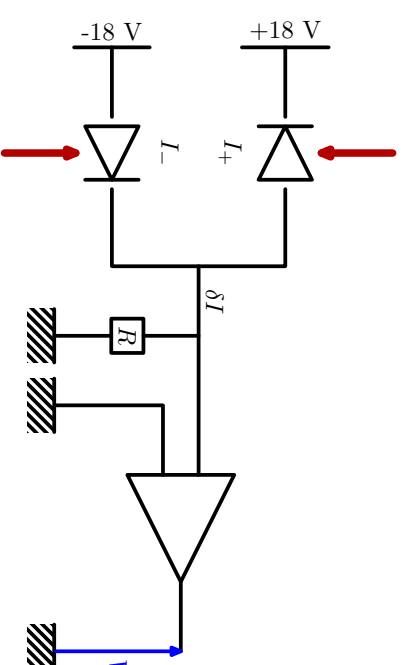
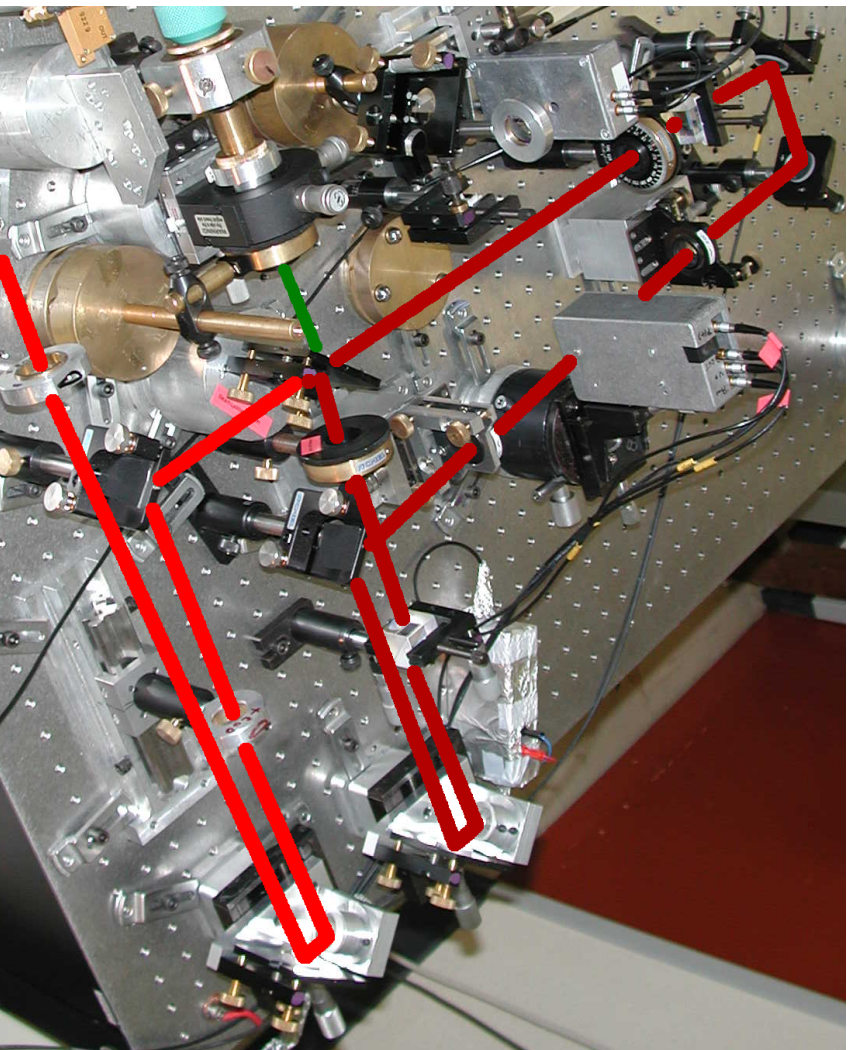
une impulsion \implies une mesure \implies un symbole



III. Détection Homodyne

III.c Réalisation Expérimentale

en collaboration avec Jérôme Wenger



Limitée
au bruit de photons

800 000 mesures/s

à 780 nm

III. Détection Homodyne

III.d Qubits et Variables Continues

Qubits

Variables Continues

Détecteurs

Photodiodes
à avalanche

Photodiodes pin
+ amplificateur bas bruit

$\eta \sim 10\%$ à 1 550 nm

$\eta > 90\%$

Bruit d'obscurité
gênant

Bruit d'obscurité négligeable

Débit limité par

Taux de comptage
des photodiodes
(MHz)

Bande passante des
photodiodes
(GHz)

Extraction de clef

Assez facile

Plus délicate

IV. Des Variables Continues aux Bits

I Introduction

II Quadratures du Champ

III Détection Homodyne

IV Des Variables Continues aux Bits

V Cryptographie Quantique

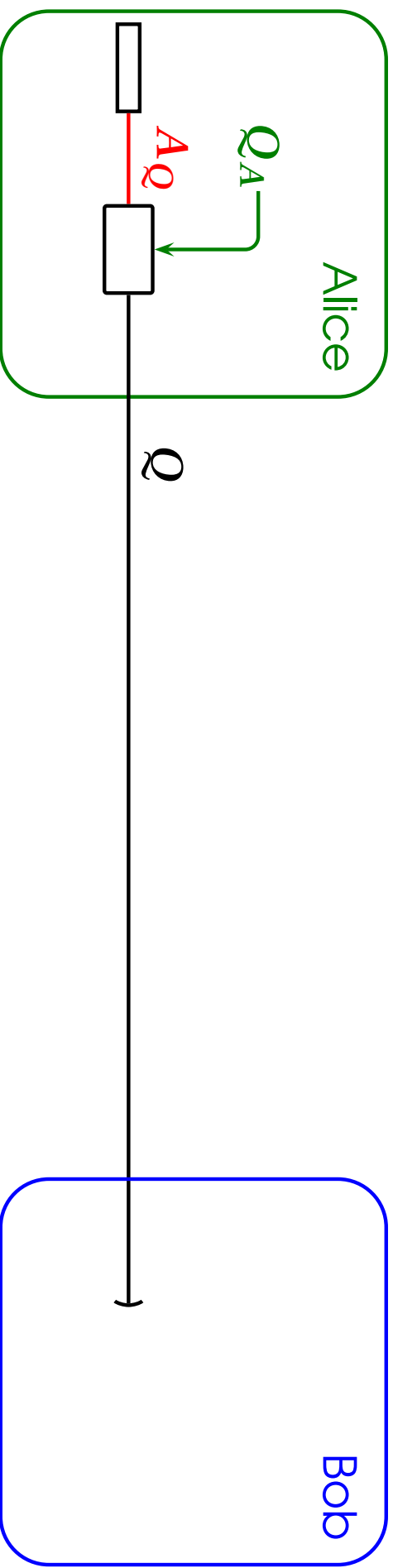
VI Protocoles Inverses

VII Réalisation Expérimentale

VIII Conclusion

IV. Des Variables Continues aux Bits

IV.a Protocole de Communication

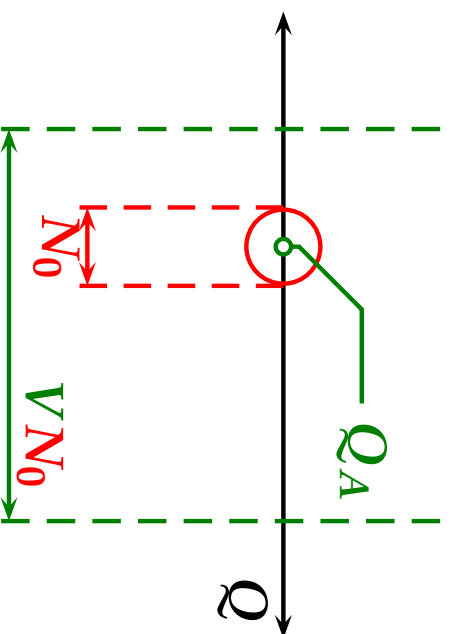


Alice module une quadrature d'un état cohérent

$$Q = \underbrace{Q_A}_{\text{Signal}} + \underbrace{A_Q}_{\text{Bruit}}$$

$$\langle \text{Bruit}^2 \rangle = \Delta A_Q^2 = N_0$$

$$\langle \text{Signal}^2 \rangle + \langle \text{Bruit}^2 \rangle = \Delta Q_A^2 + \Delta A_Q^2 = \Delta Q^2 = V N_0$$

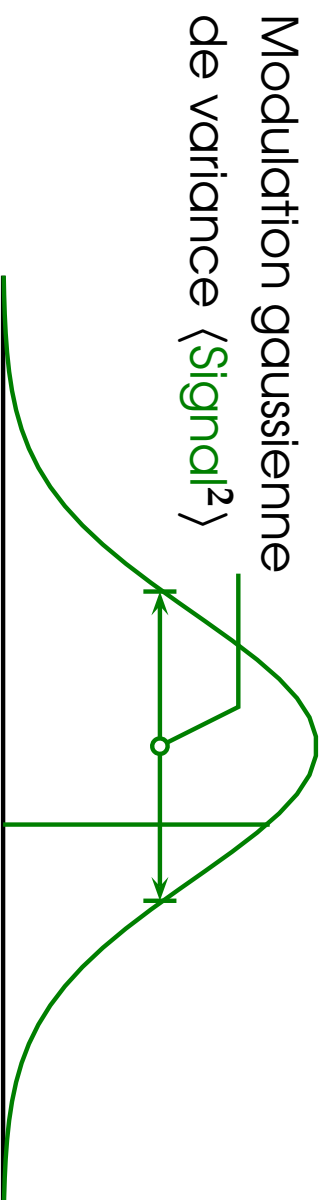


IV. Des Variables Continues aux Bits

IV.b La formule de Shannon (1948)

Pour un canal additif à bruit blanc gaussien, nous avons

$$\begin{aligned} \text{Information Mutuelle} &= \frac{1}{2} \log_2 \left(1 + \frac{\langle \text{Signal}^2 \rangle}{\langle \text{Bruit}^2 \rangle} \right) \text{ bits/symbole} \\ &= \frac{1}{2} \log_2 \frac{\langle \text{Signal}^2 \rangle + \langle \text{Bruit}^2 \rangle}{\langle \text{Bruit}^2 \rangle} \end{aligned}$$

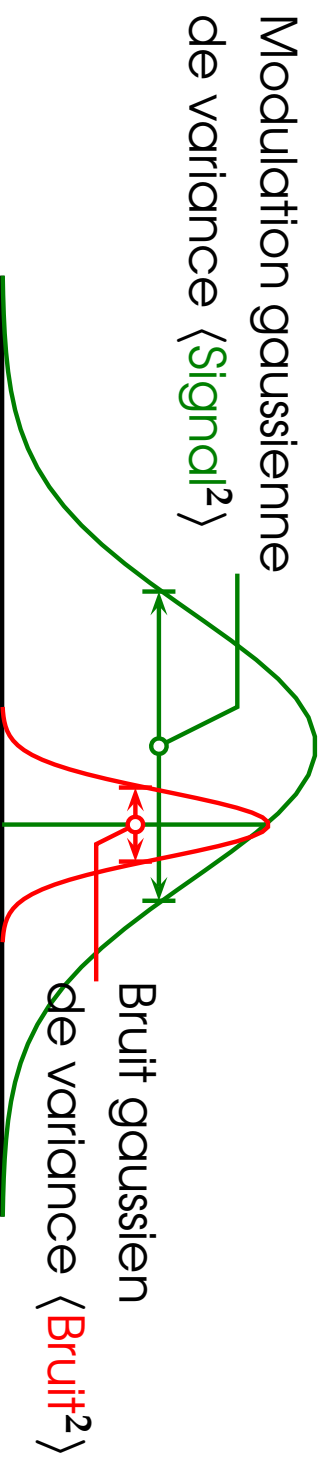


IV. Des Variables Continues aux Bits

IV.b La formule de Shannon (1948)

Pour un canal additif à bruit blanc gaussien, nous avons

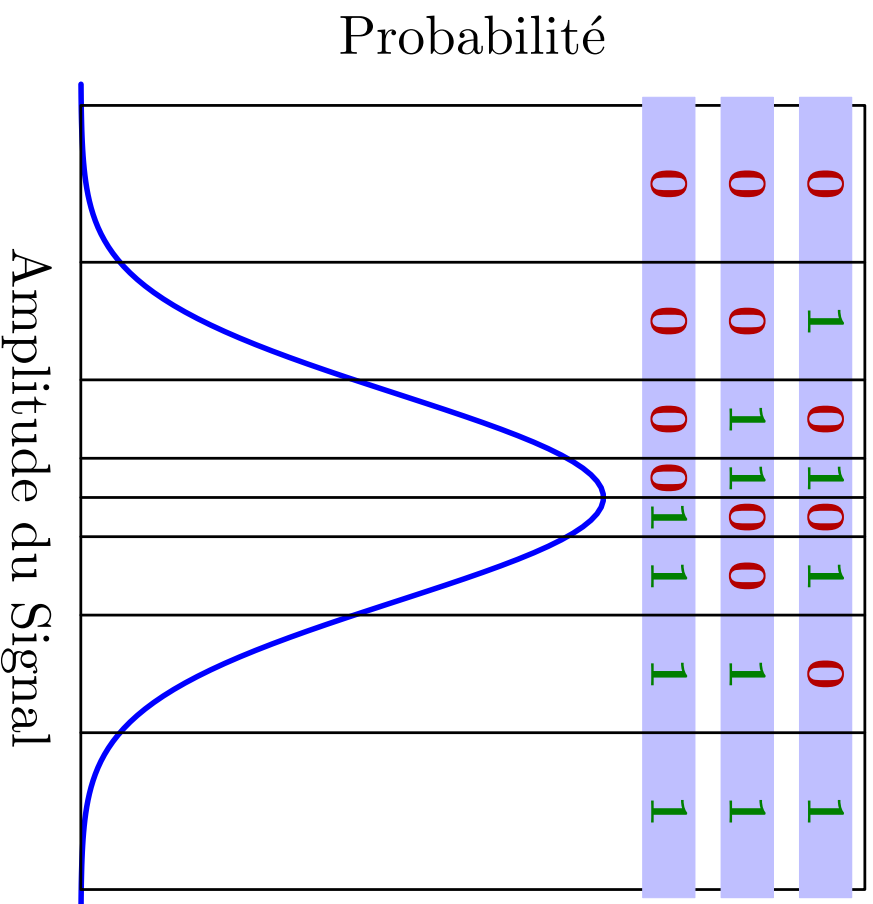
$$\begin{aligned} \text{Information Mutuelle} &= \frac{1}{2} \log_2 \left(1 + \frac{\langle \text{Signal}^2 \rangle}{\langle \text{Bruit}^2 \rangle} \right) \text{ bits/symbole} \\ &= \frac{1}{2} \log_2 \frac{\langle \text{Signal}^2 \rangle + \langle \text{Bruit}^2 \rangle}{\langle \text{Bruit}^2 \rangle} \end{aligned}$$



IV. Des Variables Continues aux Bits

IV.c Réconciliation par Tranche

réalisée par Gilles Van Assche et Nicolas Cerf (ULB)



Intervalles Optimisés

⇒ Proche de la limite de Shannon

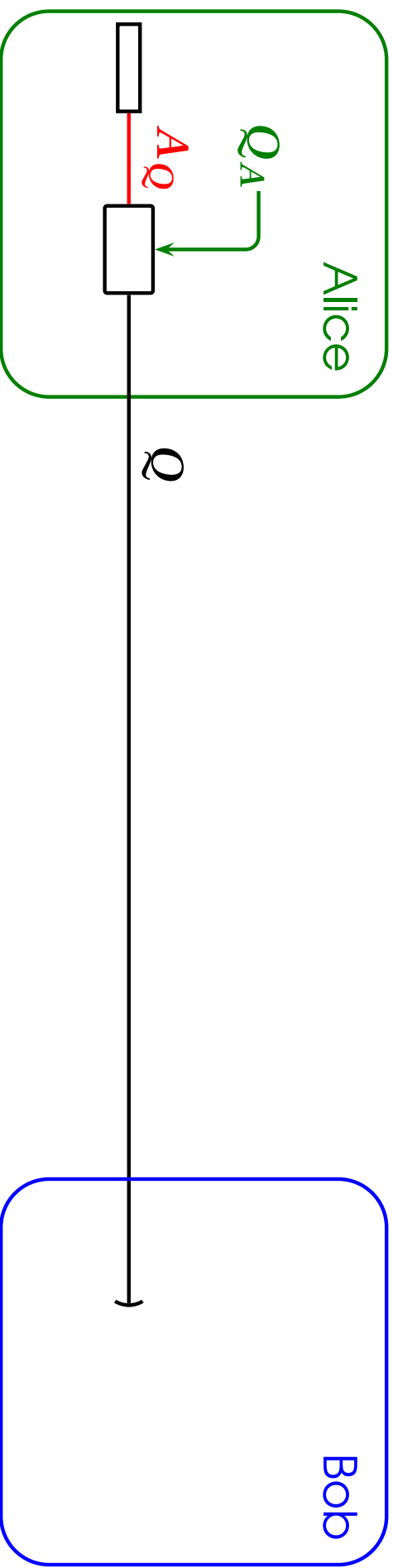
Variables gaussiennes corrélées

⇒ Chaînes binaires corrélées

⇒ Chaînes binaires identiques

IV. Des Variables Continues aux Bits

IV.d Application

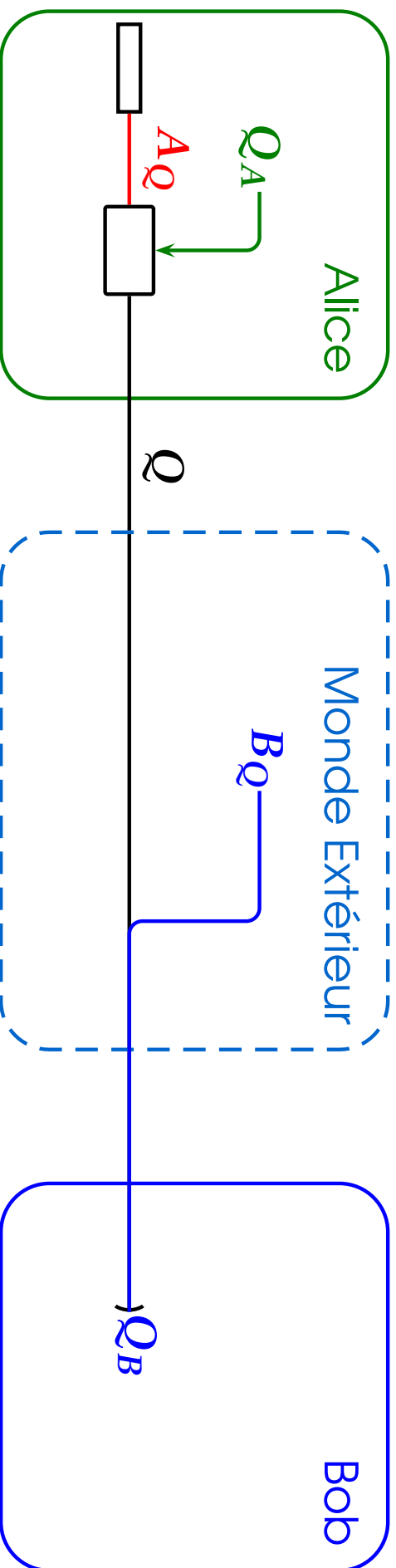


$$\frac{\langle \text{Signal}^2 \rangle + \langle \text{Bruit}^2 \rangle}{\langle \text{Bruit}^2 \rangle} = \frac{\Delta Q_A^2 + \Delta A_Q^2}{\Delta A_Q^2} = \frac{V}{1}$$

$$I_{AB} = \frac{1}{2} \log_2 \frac{V}{1}$$

IV. Des Variables Continues aux Bits

IV.d Application



Elle les envoie à Bob à travers un canal bruité de gain G ,

$$Q_B = \sqrt{G}(Q + B_Q) = \sqrt{G}(Q_A + A_Q + B_Q) \quad \text{with} \quad \Delta B_Q^2 = \chi N_0$$

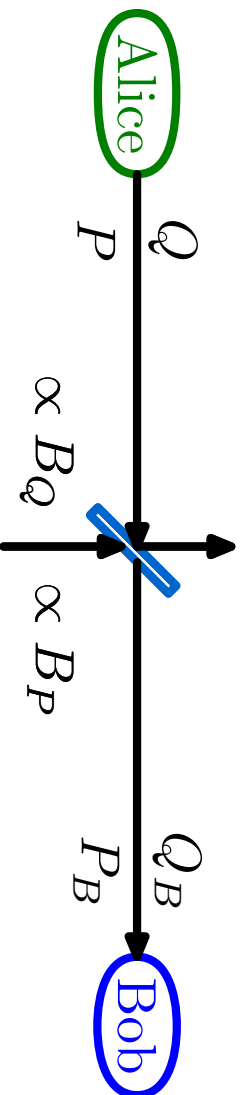
$$\frac{\langle \text{Signal}^2 \rangle + \langle \text{Bruit}^2 \rangle}{\langle \text{Bruit}^2 \rangle} = \frac{\Delta Q_A^2 + \Delta A_Q^2 + \Delta B_Q^2}{\Delta A_Q^2 + \Delta B_Q^2} = \frac{V + \chi}{1 + \chi}$$

$$I_{AB} = \frac{1}{2} \log_2 \frac{V + \chi}{1 + \chi}$$

IV. Des Variables Continues aux Bits

IV.e Origine du Bruit

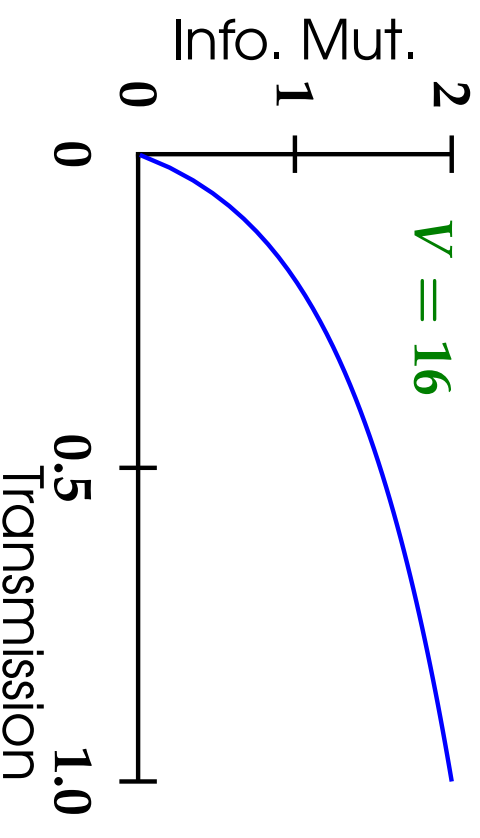
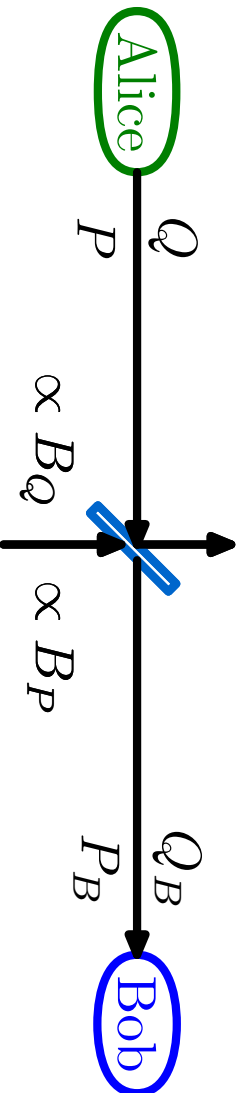
Le taux d'information du canal est défini par la variance du bruit χ . Si le bruit ne vient que des pertes, $G = T \leq 1$ et $\chi = \chi_0 = \frac{1-T}{T}$.



IV. Des Variables Continues aux Bits

IV.e Origine du Bruit

Le taux d'information du canal est défini par la variance du bruit χ . Si le bruit ne vient que des pertes, $G = T \leq 1$ et $\chi = \chi_0 = \frac{1-T}{T}$.



Dans le cas général, $\chi \geq \chi_0$: excès de bruit.

V. Cryptographie Quantique

- I Introduction**
- II Quadratures du Champ**
- III Détection Homodyne**
- IV Des Variables Continues aux Bits**
- V Cryptographie Quantique**
- VI Protocoles Inverses**
- VII Réalisation Expérimentale**
- VIII Conclusion**

V. Cryptographie Quantique

V.a Que peut faire Ève ?

Elle veut des mesures

$$\begin{cases} Q_E \propto Q + E_Q \\ P_E \propto P + E_P \end{cases} \text{ peu bruitées}$$

tout en gardant un bruit faible sur

$$\begin{cases} Q_B \propto Q + B_Q \\ P_B \propto P + B_P \end{cases}$$

V. Cryptographie Quantique

V.a Que peut faire Ève ?

Elle veut des mesures

$$\begin{cases} Q_E \propto Q + E_Q \\ P_E \propto P + E_P \end{cases} \text{ peu bruitées}$$

tout en gardant un bruit faible sur

$$\begin{cases} Q_B \propto Q + B_Q \\ P_B \propto P + B_P \end{cases}$$

Comme les mesures de Bob et Ève sont compatibles, $0 = [Q_B, P_E]$ et on a

$$[B_Q, E_P] = -[Q, P]$$

$$\Delta B_Q^2 \Delta E_P^2 \geq N_0^2$$

$$\Delta E_Q^2 \Delta B_P^2 \geq N_0^2$$

V. Cryptographie Quantique

V.a Que peut faire Ève ?

Elle veut des mesures

$$\begin{cases} Q_E \propto Q + E_Q \\ P_E \propto P + E_P \end{cases} \text{ peu bruitées}$$

tout en gardant un bruit faible sur

$$\begin{cases} Q_B \propto Q + B_Q \\ P_B \propto P + B_P \end{cases}$$

Comme les mesures de Bob et Ève sont compatibles, $0 = [Q_B, P_E]$ et on a

$$[B_Q, E_P] = -[Q, P]$$

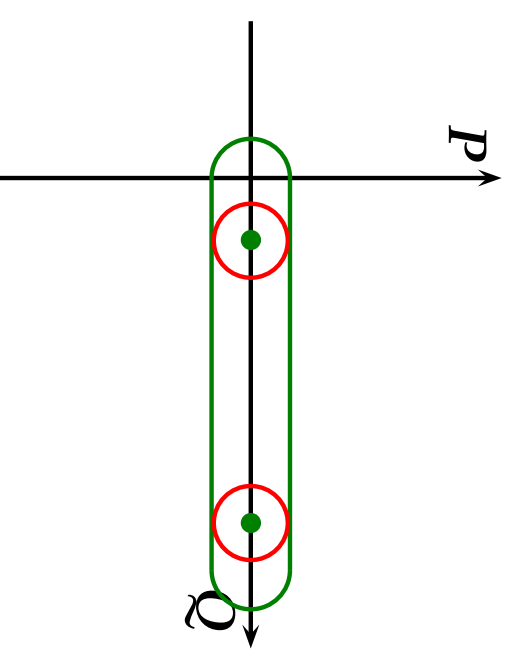
$$\Delta B_Q^2 \Delta E_P^2 \geq N_0^2$$

$$\Delta E_Q^2 \Delta B_P^2 \geq N_0^2$$

Puisqu' Alice et Bob peuvent évaluer ΔB_Q^2 et ΔB_P^2 , ils connaissent $\Delta E_Q^2_{\min}$ et $\Delta E_P^2_{\min}$, les bruits ajoutés minimaux sur les mesures d'Ève.

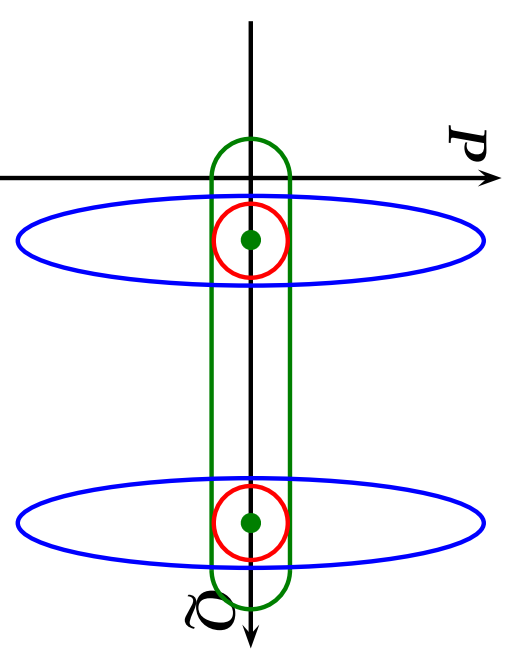
V.b Attaque QND

$E_Q \ll \sqrt{N_0} \Rightarrow B_P \gg \sqrt{N_0}$
mais Ève peut garder $B_Q \ll \sqrt{N_0}$



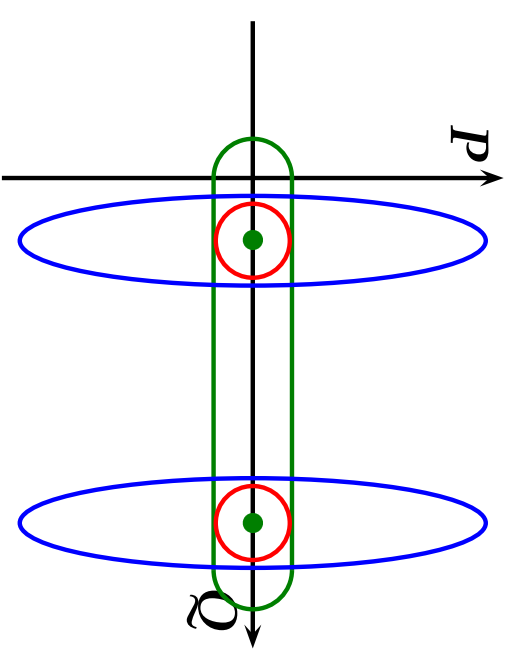
V.b Attaque QND

$E_Q \ll \sqrt{N_0} \Rightarrow B_P \gg \sqrt{N_0}$
mais Ève peut garder $B_Q \ll \sqrt{N_0}$



V.b Attaque QND

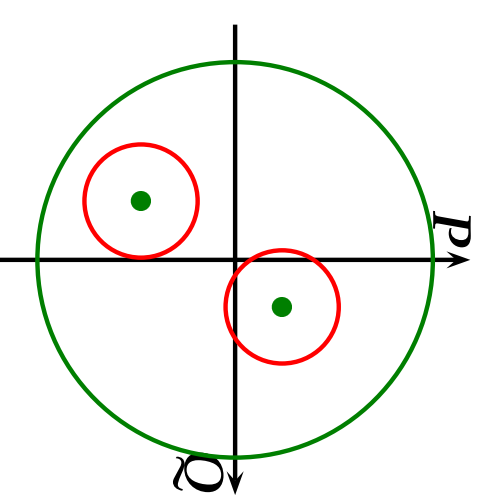
$E_Q \ll \sqrt{N_0} \Rightarrow B_P \gg \sqrt{N_0}$
mais \hat{E}_V peut garder $B_Q \ll \sqrt{N_0}$



V.c Transmission Symétrisée en Q et P

Afin

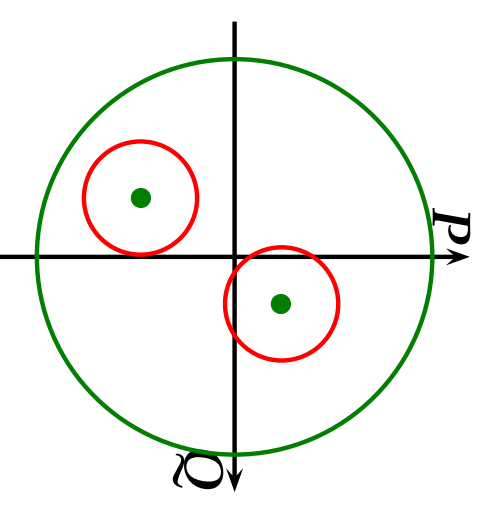
d'empêcher \hat{E}_V d'utiliser des mesures QND, $Alice$ et Bob doivent « symétriser » leur transmission en modulant simultanément les deux quadratures.



V. Cryptographie Quantique

V.d Protocole

Alice et Bob effectuent $n + k$ fois les actions suivantes :

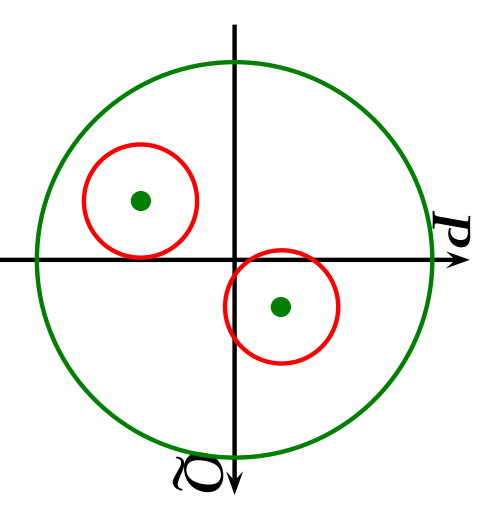


V. Cryptographie Quantique

V.d Protocole

Alice et Bob effectuent $n + k$ fois les actions suivantes :

1. Alice choisi aléatoirement Q_A et P_A

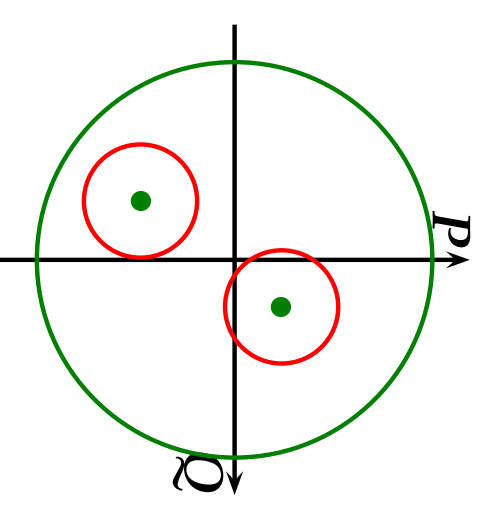


V. Cryptographie Quantique

V.d Protocole

Alice et Bob effectuent $n + k$ fois les actions suivantes :

1. Alice choisi aléatoirement Q_A et P_A
2. Alice envoie l'état cohérent centré en $\begin{matrix} Q_A \\ P_A \end{matrix}$

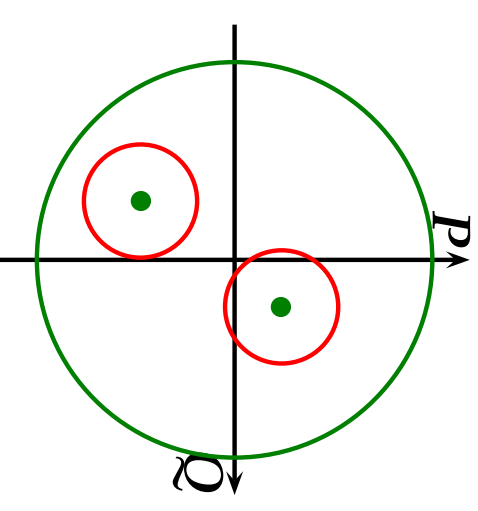


V. Cryptographie Quantique

V.d Protocole

Alice et Bob effectuent $n + k$ fois les actions suivantes :

1. Alice choisi aléatoirement Q_A et P_A
2. Alice envoie l'état cohérent centré en $\begin{matrix} Q_A \\ P_A \end{matrix}$
3. Bob choisit aléatoirement de mesurer Q_B ou P_B

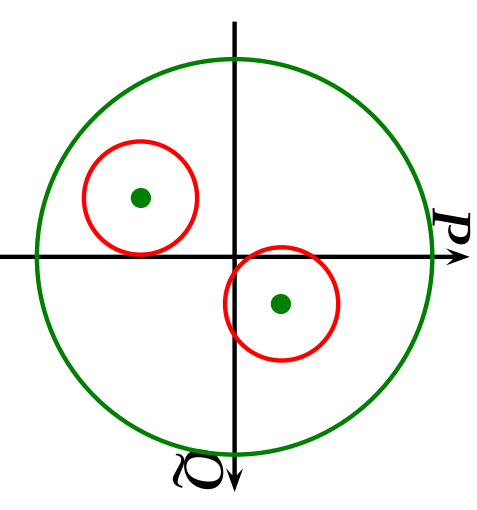


V. Cryptographie Quantique

V.d Protocole

Alice et Bob effectuent $n + k$ fois les actions suivantes :

1. Alice choisi aléatoirement Q_A et P_A
2. Alice envoie l'état cohérent centré en $\begin{matrix} Q_A \\ P_A \end{matrix}$
3. Bob choisit aléatoirement de mesurer Q_B ou P_B
4. Bob annonce à Alice l'observable qu'il a mesuré



V. Cryptographie Quantique

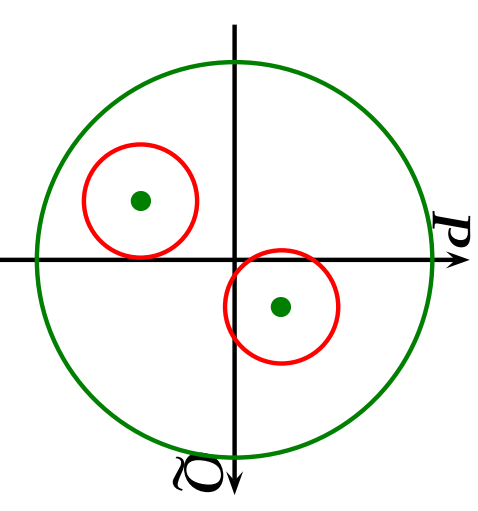
V.d Protocole

Alice et Bob effectuent $n + k$ fois les actions suivantes :

1. Alice choisi aléatoirement Q_A et P_A
2. Alice envoie l'état cohérent centré en $\begin{matrix} Q_A \\ P_A \end{matrix}$
3. Bob choisit aléatoirement de mesurer Q_B ou P_B
4. Bob annonce à Alice l'observable qu'il a mesuré

Alice et Bob partagent

un ensemble de $n + k$ variables gaussiennes corrélées.



V. Cryptographie Quantique

V.e Attaque Symétrique

Si le bruit ajouté est symétrique en Q et P , on a

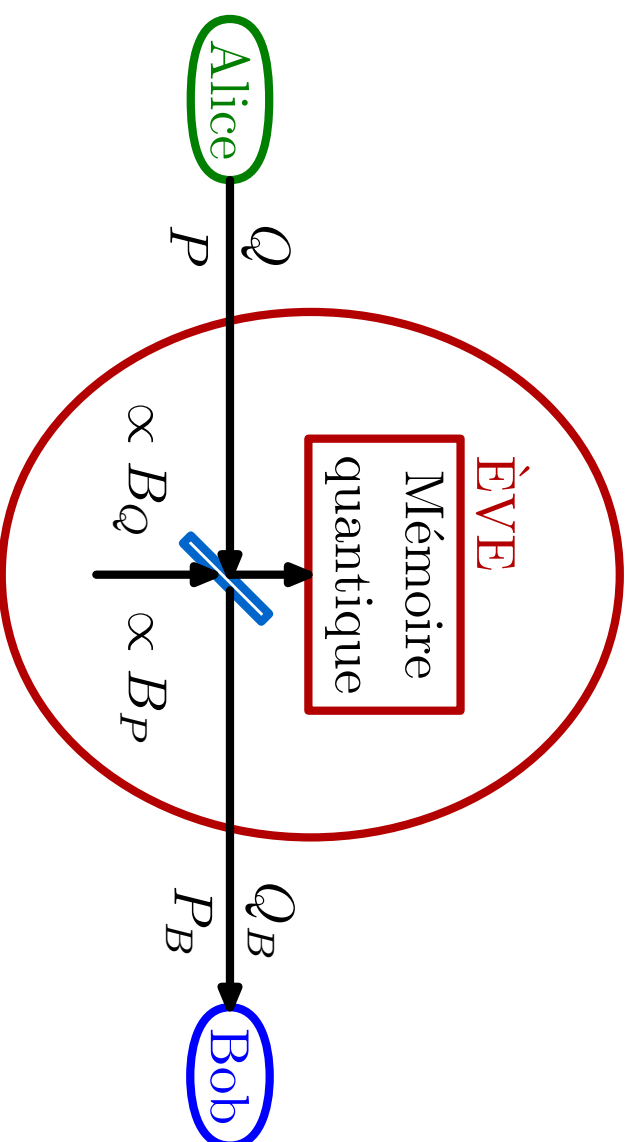
$$\Delta B_Q^2 = \Delta B_P^2 = \chi N_0 \implies \Delta E_{Q \min}^2 = \Delta E_{P \min}^2 = \frac{1}{\chi} N_0$$

V. Cryptographie Quantique

V.e Attaque Symétrique

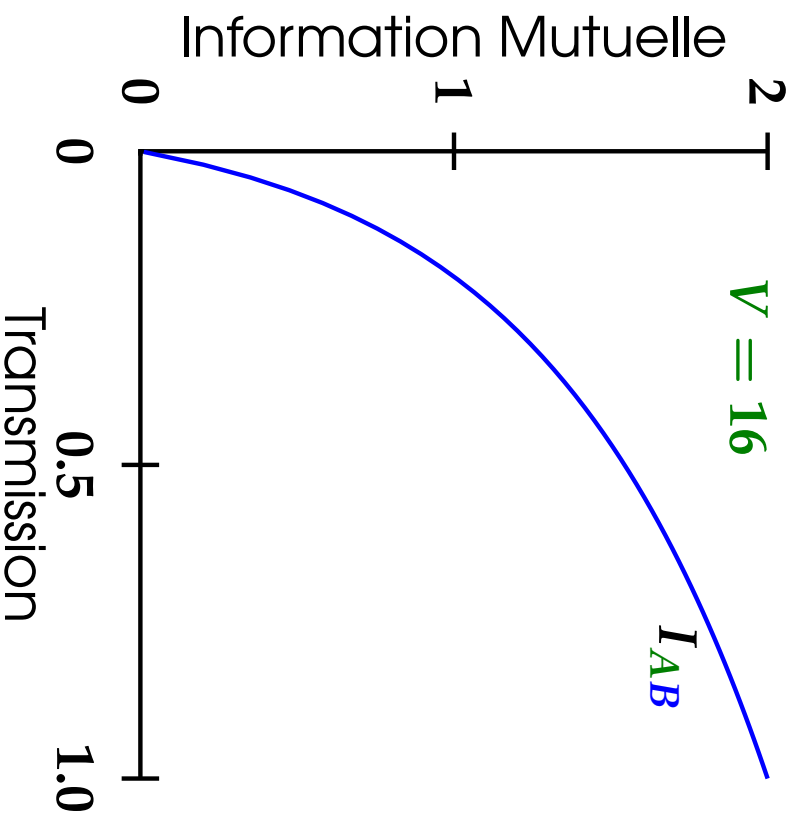
Si le bruit ajouté est symétrique en Q et P , on a

$$\Delta B_Q^2 = \Delta B_P^2 = \chi N_0 \implies \Delta E_{Q \min}^2 = \Delta E_{P \min}^2 = \frac{1}{\chi} N_0$$

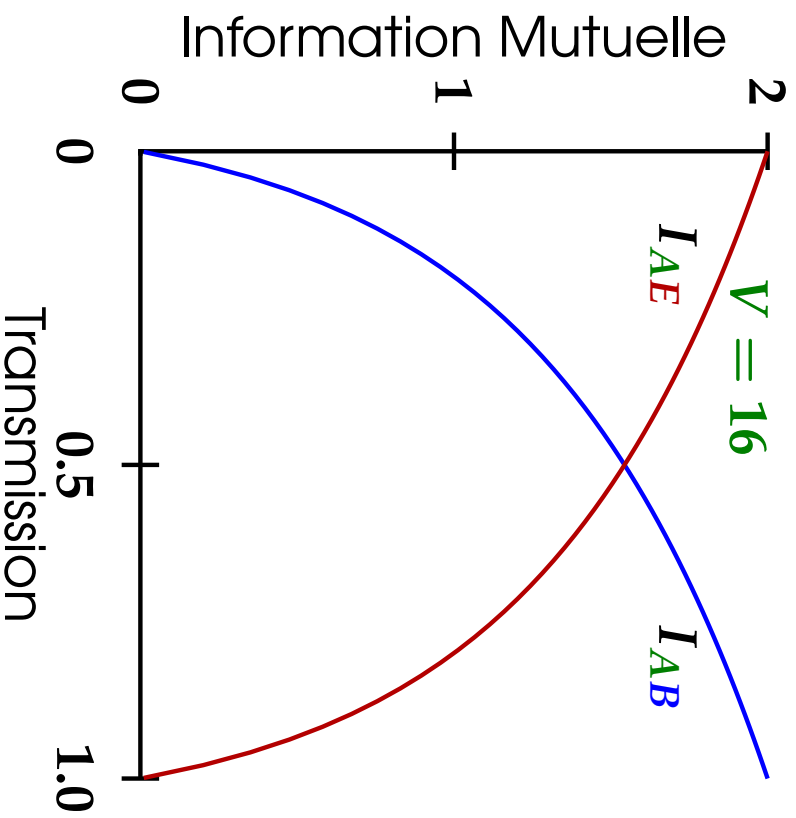


V. Cryptographie Quantique

V.f Information d'Ève



V. Cryptographie Quantique

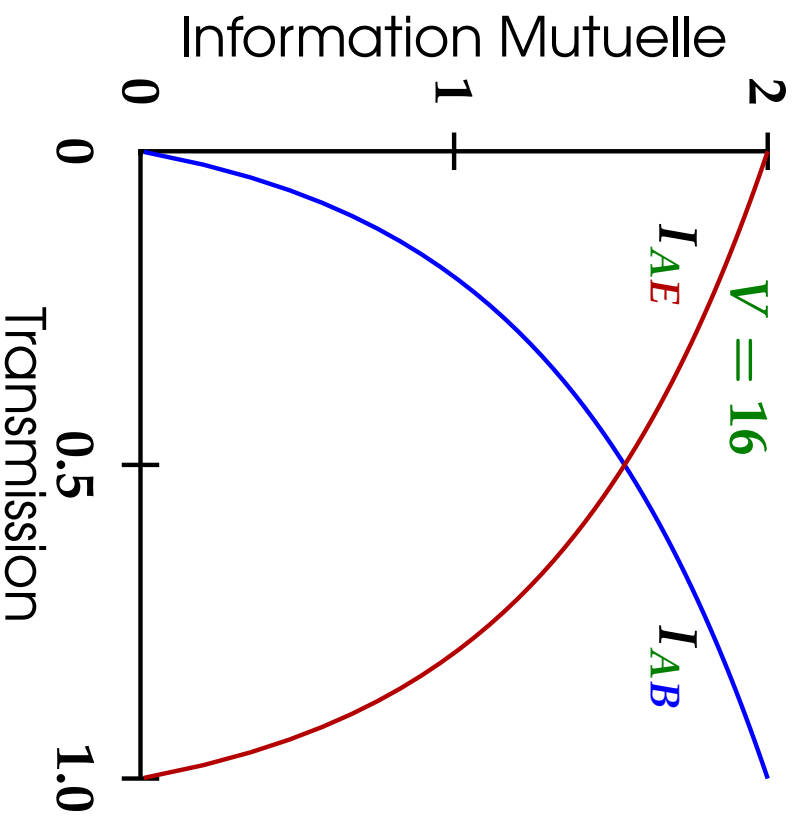


V.f Information d'Ève

Nous pouvons évaluer la quantité maximale d'information qu'Ève peut acquérir sur la modulation d'Alice.

$$I_{AE} = \frac{1}{2} \log_2 \frac{V + \frac{1}{\kappa}}{1 + \frac{1}{\kappa}}$$

V. Cryptographie Quantique

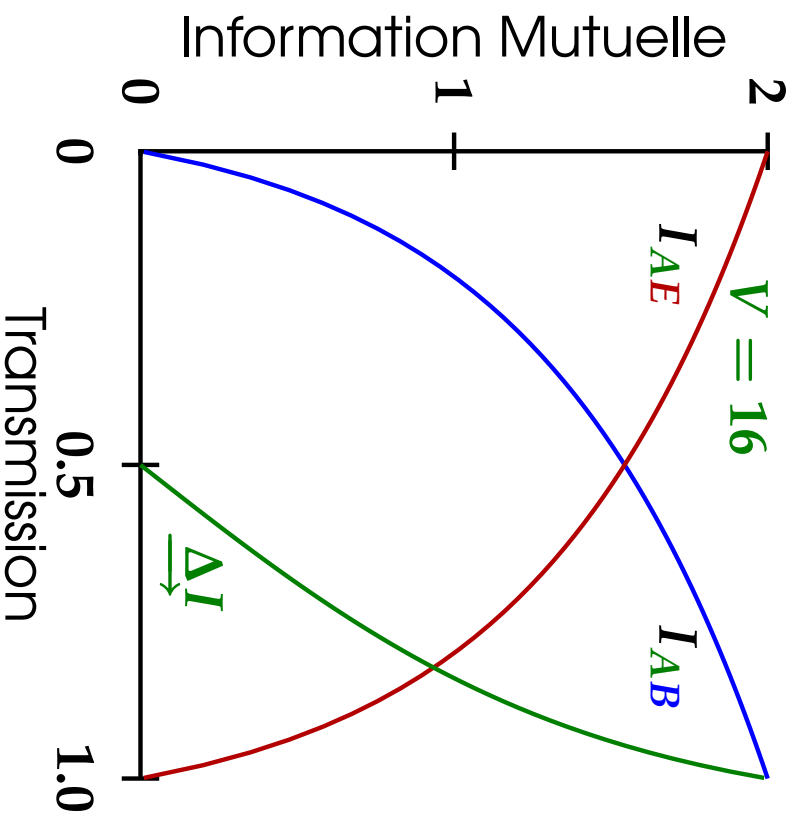


V.g Taux d'Information Secrète

Si **Alice** et **Bob** utilisent des communications unidirectionnelles, le taux de génération de clé secrète vaut

$$S_{AB||E} \geq I_{AB} - I_{AE} = \underline{\Delta I}$$

Ce taux peut être approché avec des protocoles de *Réconciliation par Tranche* et d' *Amplification de Confidentialité*



V.g Taux d'Information Secrète

Si **Alice** et **Bob** utilisent des communications unidirectionnelles, le taux de génération de clé secrète vaut

$$S_{AB||E} \geq I_{AB} - I_{AE} = \Delta I$$

Ce taux peut être approché avec des protocoles de *Réconciliation par Tranche* et d' *Amplification de Confidentialité*

$$\Delta I = \frac{1}{2} \log_2 \frac{1 + \frac{V}{\chi}}{\chi + \frac{1}{\chi}}$$

VI. Protocoles Inverses

I Introduction

II Quadratures du Champ

III Détection Homodyne

IV Des Variables Continues aux Bits

V Cryptographie Quantique

VI Protocoles Inverses

VII Réalisation Expérimentale

VIII Conclusion

VI.a Principes

$$S_{AB||E} \geq I_{AB} - I_{AE} = \underline{\Delta I}$$

On doit utiliser $\underline{\Delta I}$ quand Bob essaie de « deviner » la modulation d'Alice,

VI.a Principes

$$S_{AB||E} \geq \max\{I_{AB} - I_{AE}; I_{AB} - I_{BE}\} = \max\{\underline{\Delta I}; \underline{\Delta I}\}$$

On doit utiliser $\underline{\Delta I}$ quand Bob essaie de « deviner » la modulation d'Alice,

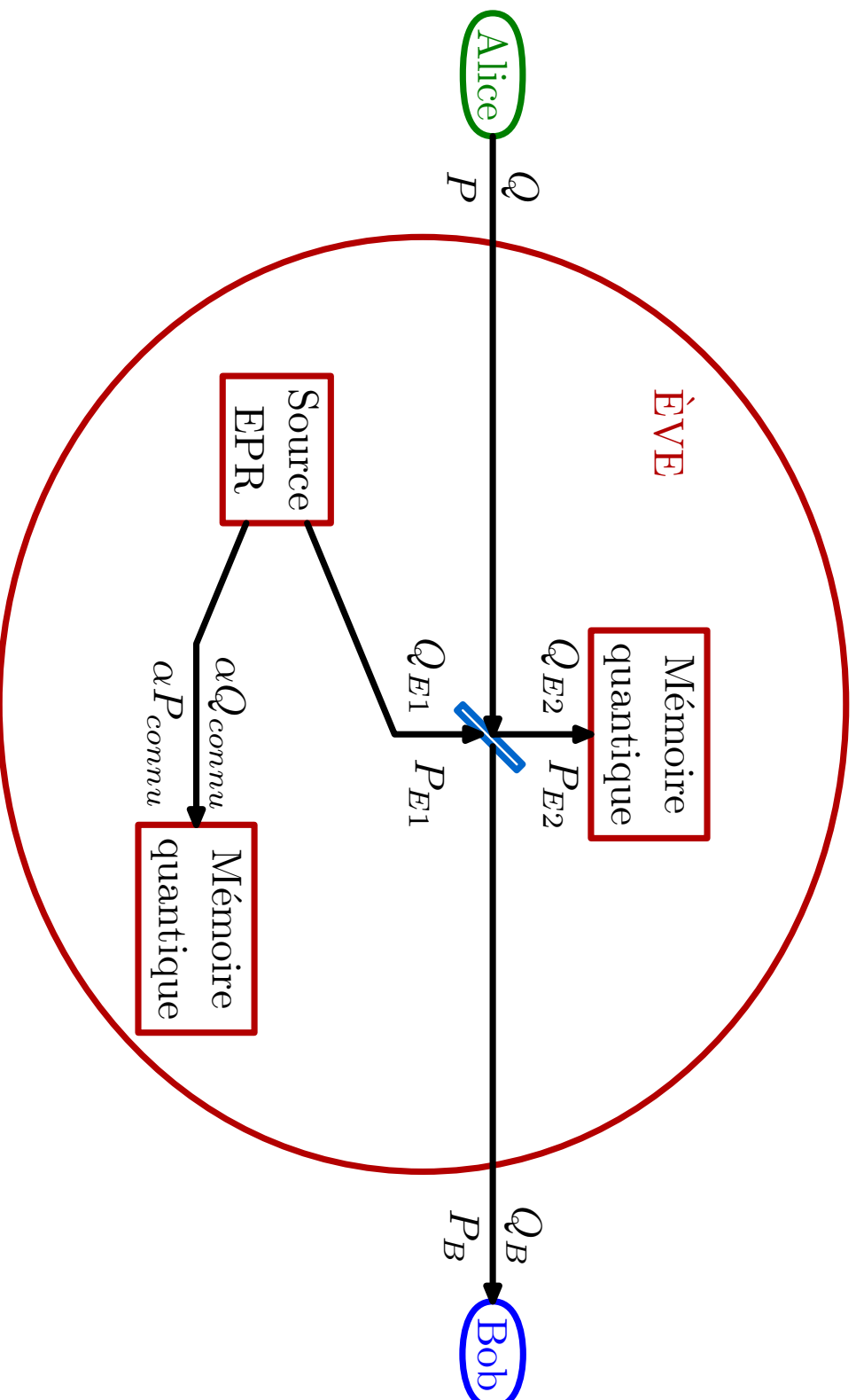
et $\underline{\Delta I}$ quand Alice essaie de deviner le résultat de la mesure de Bob.

Nous appellerons le premier cas *Réconciliation Directe*

et le second *Réconciliation Inverse*

VI.b Espionnage

Ève se corréle au faisceau de Bob avec une Cloneuse Intriquante



VI.c Quantité d'Information

L'information qu'Éve peut acquérir vaut, si le bruit est symétrique :

$$I_{BE} = \frac{1}{2} \log_2 \left[G(V + \chi) \left(G\chi + \frac{G}{V} \right) \right]$$

et

$$\underline{\Delta} I = I_{BA} - I_{BE} = -\frac{1}{2} \log_2 \left[G^2(\chi + 1) \left(\chi + \frac{1}{V} \right) \right]$$

VI.c Quantité d'Information

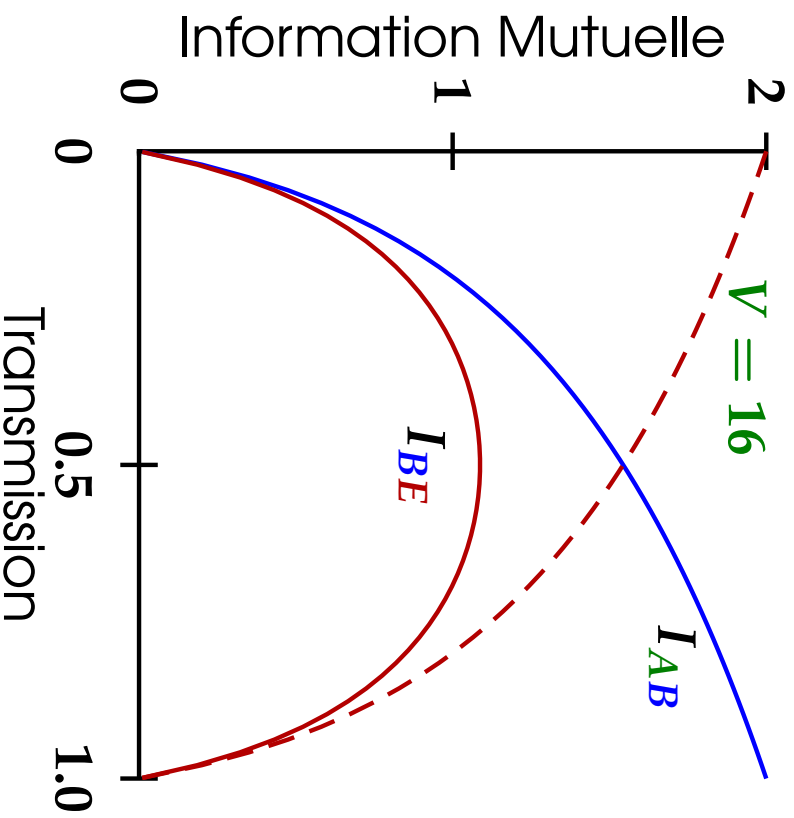
L'information qu'Éve peut acquérir vaut, si le bruit est symétrique :

$$I_{BE} = \frac{1}{2} \log_2 \left[G(V + \chi) \left(G\chi + \frac{G}{V} \right) \right]$$

et

$$\underline{\Delta I} = I_{BA} - I_{BE} = -\frac{1}{2} \log_2 \left[G^2(\chi + 1) \left(\chi + \frac{1}{V} \right) \right]$$

VI. Protocoles Inverses



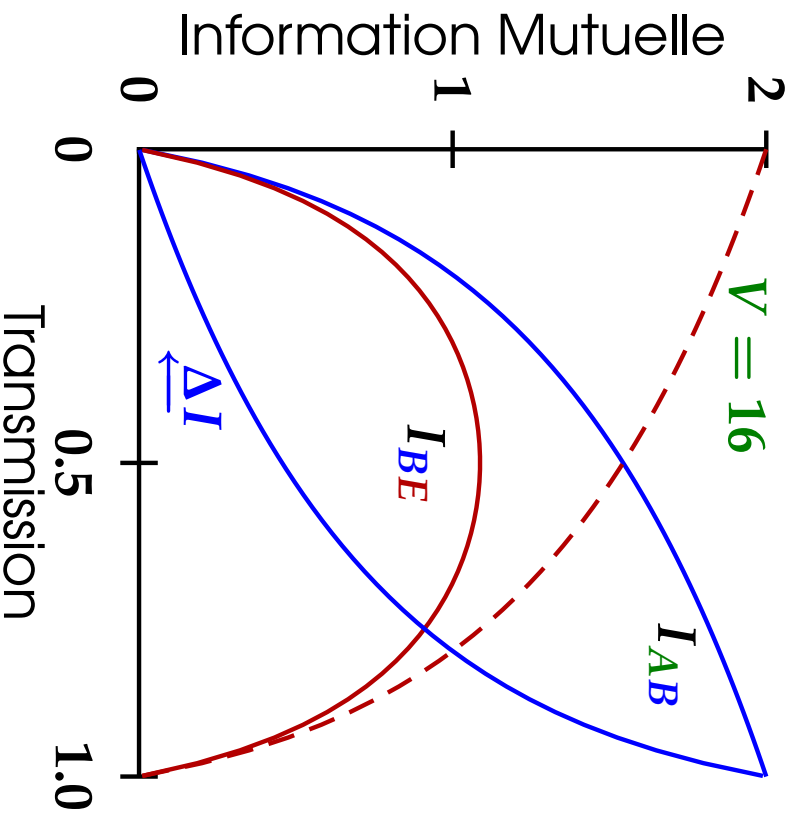
Si le bruit ne

vient que des pertes $G = T$ et $\chi = \frac{1}{T} - 1$

On a alors

$$I_{BE} = \frac{1}{2} \log_2 \left(TV + 1 - T \right) \left(1 - T + \frac{T}{V} \right)$$

VI. Protocoles Inverses



Si le bruit ne

vient que des pertes $G = T$ et $\chi = \frac{1}{T} - 1$

On a alors

$$I_{BE} = \frac{1}{2} \log_2 \left(TV + 1 - T \right) \left(1 - T + \frac{T}{V} \right)$$

$$\Delta I = -\frac{1}{2} \log_2 \left(1 - T + \frac{T}{V} \right)$$

VII. Réalisation Expérimentale

I Introduction

II Quadratures du Champ

III Détection Homodyne

IV Des Variables Continues aux Bits

V Cryptographie Quantique

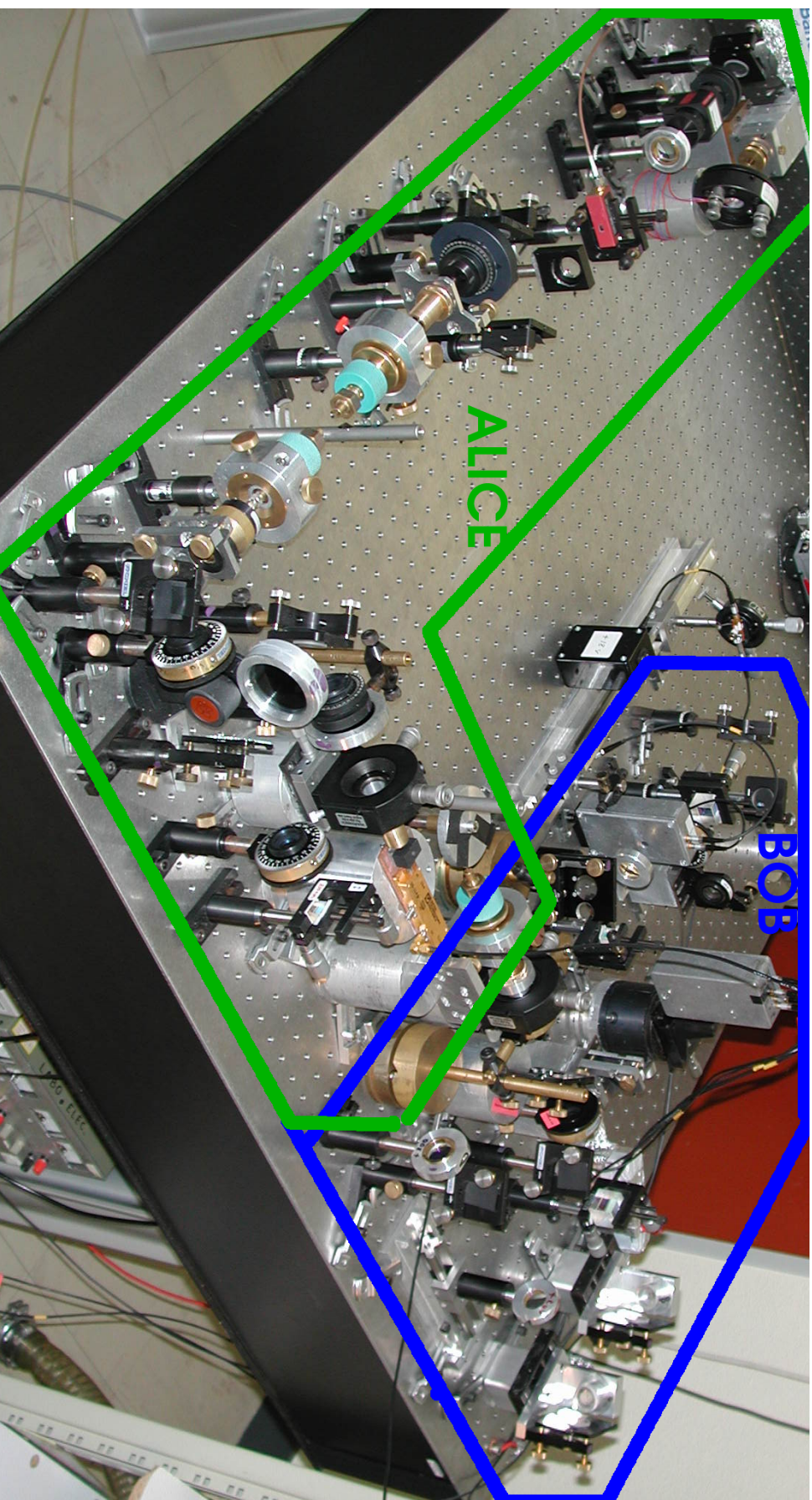
VI Protocoles Inverses

VII Réalisation Expérimentale

VIII Conclusion

VII.a Schéma optique

en collaboration avec Jérôme Wenger

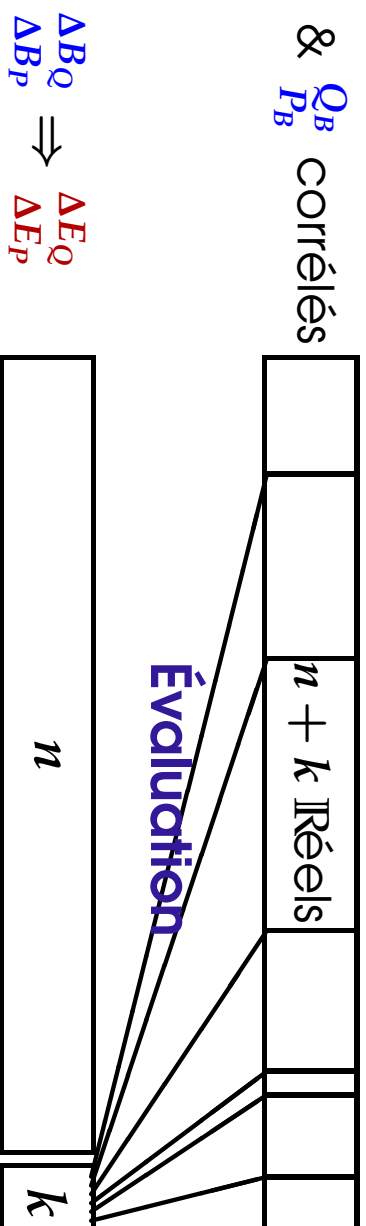


VII.b Extraction des clés

Réalisée par Gilles Van Assche & Nicolas Cerf (ULB)

Alice & Bob

Q_A^A & Q_B^B corrélés
 P_A^A & P_B^B



Q_E^E & Q_A^A corrélés à P_A^A

Éve

Réconciliation

$nI_{AB} + R$ bits

11001001000011111011010101

dont $nI_{AE} + R$
bits connus

Amplification de Confidentialité

$nI_{AB} - nI_{AE} - S$ bits

000100010000101

101000011000

\mathcal{P} (1 bit connu) = 2^{-S}

VII. Réalisation Expérimentale

VII.c Résultats

V	transmission (%)	(dB)	Taux d'information (kbits/s)*			
			direct (ΔI) idéal	réel	inverse (ΔI) idéal	réel
41,7	100	0	1 910	1 660	1 920	1 690
38,6	79	-1,0	540	270	730	470
32,3	68	-1,7	190	—	510	185
27,0	49	-3,1	0	—	370	75
43,7	26	-5,9	0	—	85	—

* Ces taux sont atteints pendant la transmission d'un bloc de données (~ 50 000 impulsions à 800 KHz)

VIII. Conclusion

VIII.a Une voie prometteuse :

Une première expérience déjà compétitive en termes de débit avec les photons uniques, pourtant beaucoup plus mûrs technologiquement.

VIII.b Améliorations Possibles :

Expériences à 1 550 nm

Électronique

Amélioration des protocoles de réconciliation